

# МАТЕМАТИЧЕСКАЯ МОДЕЛЬ ДВУХФАЗНОГО ТЕЧЕНИЯ В СМЕЖНЫХ ПРОНИЦАЕМЫХ КАНАЛАХ

А.Г. Овчаренко, Ф.Ф. Спиридонов, Т.М. Тушкина

Объектом исследования является динамика двухфазного потока в модуле мембранного аппарата. В качестве закона проницания мембраны принят обобщенный закон Дарси. Цель работы – создание физико-математической модели двухфазного течения, исследование влияния параметра проницания на движение жидкой и твердой фазы, деформацию мембраны.

Каналы с проницаемыми стенками находят широкое применение в технологических аппаратах химического, биологического и др. производств. В частности, каналы со стенками в виде полупроницаемых мембран используются для очистки жидких сред от ультрадисперсных примесей. Для надежного проектирования технологических установок необходимо знание гидродинамики потоков в рабочем канале. Имеющаяся информация по данному вопросу носит, в основном, эмпирический характер, что не позволяет использовать ее с достаточной степенью надежности для расчета оборудования. Поэтому математическое моделирование гидродинамики в каналах мембранных аппаратов является актуальной темой. В данной работе исследованы закономерности движения жидкой среды и мелких твердых частиц в осесимметричных рабочих каналах мембранных аппаратов.

Течение жидкости при наличии ультрадисперсной примеси осуществляется в цилиндрической установке с закрытым левым торцом (рис. 1), разделенной проницаемой пленкой (мембраной) на две части: дренажный канал (зона 2), снабженный справа расходной диафрагмой и напорный канал между мембраной и корпусом (зона 1).

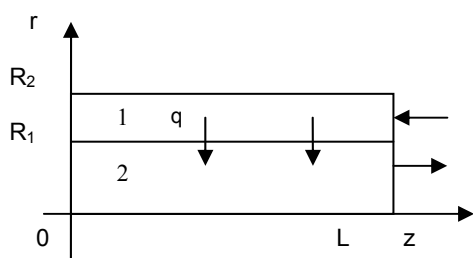


Рисунок 1 – Схема течения жидкости в фильтрующем аппарате: 1 – напорный канал; 2 – дренажный канал

Через общую пористую границу осуществляется вдув (отсос) со скоростью, подчиняющейся обобщенному закону Дарси  
ПОЛЗУНОВСКИЙ ВЕСТНИК № 2 2006

$$q = a \cdot (\Delta p)^n \quad (1)$$

Здесь  $\Delta p$  – перепад давления на мембране,  $n$  – константа проницания, которая характеризует физические свойства мембраны.

Исследование проводится в рамках следующих допущений. Для жидкой фазы принята модель несжимаемой жидкости с исчезающей вязкостью ( $\rho = const$ ,  $\nu \rightarrow 0$ ). Для твердой фазы принят Стоксов закон сопротивления. Полагается, что концентрация крупных частиц примеси мала, что позволяет пренебречь обратным влиянием дисперсной фазы на жидкую и рассматривать движение фаз независимо друг от друга.

В рамках наложенных ограничений для исследования движения жидкой фазы в цилиндрической системе координат  $(z, r)$  аналитически была решена [1] система уравнений

$$\begin{cases} \frac{\partial(rw_i)}{\partial z} + \frac{\partial(rv_i)}{\partial r} = 0 \\ w_i \frac{\partial w_i}{\partial z} + v_i \frac{\partial w_i}{\partial r} = -\frac{dp_i}{dz} \end{cases} \quad (2)$$

с граничными условиями следующего вида:

1. Непроницаемые стенки каналов ( $z=0$ ):  $w_i=v_i=0$ ; ( $r=R_2$ )  $w_i=v_i=0$ ;
2. Мембрана ( $r=R_1$ ):  $w_1=w_2=0$ ,  $v_1=v_2=-q$ ;
3. Ось симметрии ( $r=0$ ):  $v_2=0$ ,  $\frac{\partial w_2}{\partial r} = 0$ .

Здесь  $w$  и  $v$  – составляющие вектора скорости вдоль осей  $z$  и  $r$ , значение параметра  $i$  совпадает с номером зоны (1 или 2). Равенство (1), уравнения системы (2) и граничные условия записаны в безразмерном виде. Переход к размерным переменным может быть осуществлен умножением на масштабы:  $R_2^*$ ,  $q_0^*$  (опорное значение скорости проницания),  $p_n^*$  (нормальное атмосферное давление).

Решение систем (2), удовлетворяющее граничным условиям, искалось в виде

$$w_1 = -\frac{\pi}{R_2^2 - R_1^2} f_1(z) \sin \frac{\pi}{2} \frac{r^2 - R_1^2}{R_2^2 - R_1^2}, \quad (3)$$

$$w_2 = \frac{\pi}{R_1^2} f_2(z) \cos \frac{\pi}{2} \frac{r^2}{R_1^2},$$

$$v_1 = -\frac{1}{r} f_1'(z) \cos \frac{\pi}{2} \frac{r^2 - R_1^2}{R_2^2 - R_1^2},$$

$$v_2 = -\frac{1}{r} f_2'(z) \sin \frac{\pi}{2} \frac{r^2}{R_1^2},$$

где  $f_1(0) = f_2(0) = 0$ .

Выражения (3) удовлетворяют первым уравнениям систем (2). Можно доказать, что

$$f_1(z) = f_2(z). \quad (4)$$

В дальнейшем индекс  $i=1,2$  у  $f_i(z)$  опущен.

В результате подстановки (3) во вторые уравнения систем (2), их интегрирования и последующего вычитания с учетом равенств (1), (4) было получено обыкновенное дифференциальное уравнение

$$f'(z) = d \cdot f^{2n}(z), \quad (5)$$

здесь  $d = a \left( \frac{\pi^2}{2p_n} \cdot \frac{(R_2^2 - R_1^2)^2 - R_1^4}{(R_2^2 - R_1^2)^2 R_1^4} \right)^n$ .

Решением уравнения (5), удовлетворяющим начальному условию  $f(0) = 0$ , является функция

$$f(z) = [(1-2n)d \cdot z]^{1/(1-2n)}.$$

Таким образом, кинематику течения в плоском мембранном модуле описывают следующие соотношения:

$$w_1 = -\frac{\pi}{R_2^2 - R_1^2} [(1-2n)d \cdot z]^{1/(1-2n)} \sin \frac{\pi}{2} \frac{r^2 - R_1^2}{R_2^2 - R_1^2}, \quad (6)$$

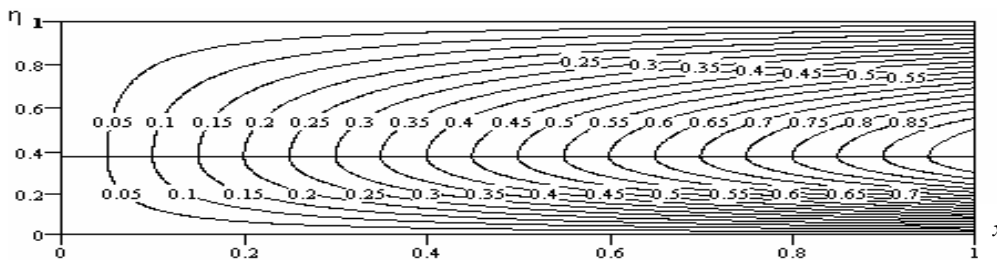
$$w_2 = \frac{\pi}{R_1^2} [(1-2n)d \cdot z]^{1/(1-2n)} \cos \frac{\pi}{2} \frac{r^2}{R_1^2},$$

$$v_1 = -\frac{1}{r} [(1-2n)z]^{1/(1-2n)} d^{1/(1-2n)} \cdot \cos \frac{\pi}{2} \frac{r^2 - R_1^2}{R_2^2 - R_1^2},$$

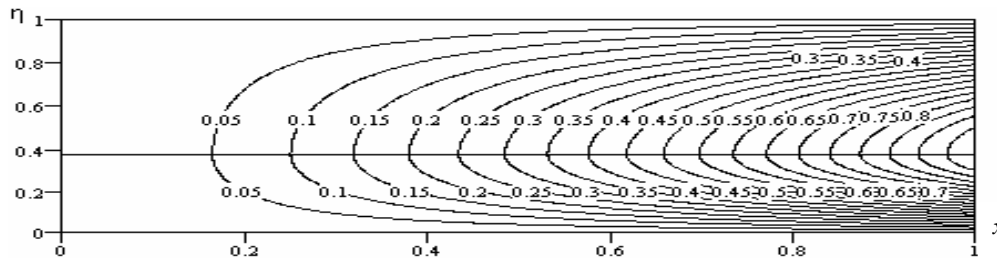
$$v_2 = -\frac{1}{r} [(1-2n)z]^{1/(1-2n)} d^{1/(1-2n)} \cdot \sin \frac{\pi}{2} \frac{r^2}{R_1^2}.$$

Анализ зависимостей (6) показал, что малому изменению параметра  $n$  в диапазоне его значений соответствует достаточно сильное изменение градиентности течения. Этот факт отражен на рис. 2, где в системе координат  $(x, \eta)$  представлены линии тока в рассматриваемом канале при  $n=0, n=0,2$  (рис. 2 а, б соответственно). Здесь  $x = \frac{z}{L}$ ,

$$\eta = \frac{r^2 - R_1^2}{R_2^2 - R_1^2}.$$



а



б

Рисунок 2 – Картина течения в мембранном аппарате при различных значениях параметра проницания  $n$ : а –  $n=0$ ; б –  $n=0,2$

## МАТЕМАТИЧЕСКАЯ МОДЕЛЬ ДВУХФАЗНОГО ТЕЧЕНИЯ В СМЕЖНЫХ ПРОНИЦАЕМЫХ КАНАЛАХ

Как видно из рисунка, параметр  $n$  оказывает существенное влияние на концентрацию линий тока в непосредственной близости от тупиковой зоны канала, поскольку при увеличении значения  $n$  линии тока становятся все более разреженными вблизи левой стенки установки.

Для исследования вопроса о движении мелких частиц примеси в поле течения, задаваемого соотношениями (6), поставлена задача:

$$\begin{aligned} Stk \frac{dw_p}{dt} &= w - w_p, & Stk \frac{dv_p}{dt} &= v - v_p, \\ \frac{d\xi_p}{d\tau} &= w_p, & \frac{1}{L\lambda(1-2n)} \frac{d\eta_p}{d\tau} &= v_p. \end{aligned} \quad (7)$$

$$\text{Здесь } w = -\sin \frac{\pi}{2} \eta_p \text{ и } v = -\frac{\beta}{\xi_p} \cos \frac{\pi}{2} \eta_p,$$

индекс « $p$ » определяет параметры частицы примеси,  $Stk = \frac{1}{18} \rho_p \frac{d_p^2 w_{max}}{\mu L}$  - число Стокса,  $\mu$  - вязкость жидкости,  $\rho_p$ ,  $d_p$  - плотность и диаметр частицы примеси;  $\lambda = \frac{R_2^2 - R_1^2}{\pi(1-2n)}$ .

Начальные условия для искомым переменных системы (7) следующие:

$$\tau_0 = 0 \quad x_0 = 1, \quad \eta_0 = \eta_{00}, \quad v_{p0} = 0, \\ w_{p0} = -1, \quad \eta_{00} \in [0, 1].$$

Система (7) с начальными условиями представляет собой задачу Коши, решения которой определяют траекторию и значения составляющих скорости движения частицы примеси в рабочем канале (зона 1).

Прежде, чем было найдено решение системы (7), было исследовано его поведение при  $\sigma \rightarrow 0$ , а также при некоторых аппроксимациях компонент вектора скорости.

Так, в соответствии с двумя первыми уравнениями (7),  $w_p \rightarrow w$  и  $v_p \rightarrow v$  при  $\sigma \rightarrow 0$ , что означает равновесное движение жидкой и дисперсной фаз.

В общем случае  $w_p$  представлено в виде суммы ряда по малому параметру  $\sigma$ :

$$w_p = w - g_1 \cdot \sigma - g_2 \cdot \sigma^2 - \dots - 0(\sigma^n),$$

или

$$w - w_p = g_1 \cdot \sigma + g_2 \cdot \sigma^2 + \dots + 0(\sigma^n). \quad (8)$$

Заменив левую часть равенства (8) в соответствии с первым уравнением системы (7), ограничились далее главным членом

разложения (8). Тем самым получено приближенное равенство:

$$\frac{dw_p}{dt} = g,$$

где  $\frac{dw_p}{dt} \approx \frac{dw}{dt}$ ;  $g = g_1$  зависит либо от пространственных координат, либо от времени.

Производная  $\frac{dw}{dt}$  представлена в виде:

$$\frac{dw}{dt} = \frac{\partial w}{\partial t} + w \frac{\partial w}{\partial z} + v \frac{\partial w}{\partial y},$$

с учетом того, что  $\frac{\partial w}{\partial t} \approx 0$ , при условии  $v \ll w$  получено:

$$\begin{aligned} w_p &\approx w \left( 1 - \sigma \frac{\partial w}{\partial z} \right), \text{ или} \\ w_p &\approx w \left( 1 - \sigma \frac{dw}{dz} \right). \end{aligned} \quad (9)$$

С помощью (9) была оценена разница в скоростях жидкой и дисперсной фаз при различных зависимостях  $w(z)$ . В частности:

1. При  $w = \text{const}$ :  $\frac{dw}{wz} = 0$ , а значит, в соответствии с (9),  $w_p \approx w$ ;
2. При  $w \approx z$ :  $w_p \approx w(1 - \sigma)$ , частица "отстает" от жидкости, причем, при увеличении  $\sigma$  от 0 до 1 "отставание" возрастает;
3. При  $w \approx -z$ :  $w_p \approx w(1 + \sigma)$ , скорость частицы в  $(1 + \sigma)$  раз больше скорости жидкости, частица "опережает" жидкость, при этом, разница в скоростях тем больше, чем больше величина числа Стокса  $\sigma$ .

Аналогичная оценка была произведена и для степени отклонения траекторий частиц примеси от линий тока жидкости. Например, если

$$w_p \approx w(1 - \sigma),$$

то из уравнения

$$\frac{dz_p}{dt} \approx (1 - \sigma) \frac{dz}{dt}$$

следует, что

$$\frac{dz_p}{dy} \approx (1 - \sigma) \frac{dz}{dy}.$$

В результате интегрирования последнего уравнения получено

$$z_p \approx z_{p0} + (1 - \sigma) \cdot z'_y(y) \cdot (y - y_0). \quad (10)$$

Уравнение (10) позволяет выполнить оценку траекторий частиц примеси. При этом,  $z'_y(y)$  - функция углового коэффициента линий тока жидкой фазы, величина  $(1 - \sigma)$  опре-

деляет отличие траектории частицы примеси от линии тока жидкой фазы.

Первые два уравнения системы (7) содержат в правой части соответственно разницу продольной и поперечной компонент векторов скоростей жидкости и частиц примеси. Эти величины достаточно малы при малых значениях чисел Стокса  $Stk$ , что указывает на возможную жесткость системы. Система (7) была решена численно с использованием многошагового метода Гира.

Было исследовано [2] отличие траекторий частиц от линий тока при различных значениях числа Стокса  $Stk$ , параметра  $n$ , определяющего закон проницаемости мембраны. Траектории движения твердых частиц в зависимости от их диаметров ( $\times$  - 100 мкм,  $\square$  - 75 мкм,  $\circ$  - 50 мкм) и соответствующие линии тока (сплошная линия), представлены на рис. 3 (а, б) соответственно при  $n=0$  и 0,2.

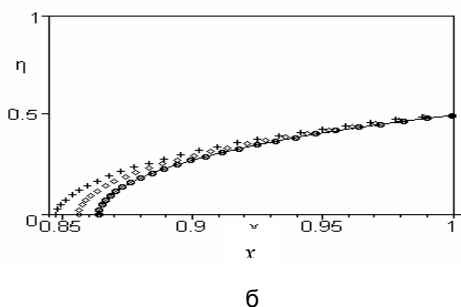
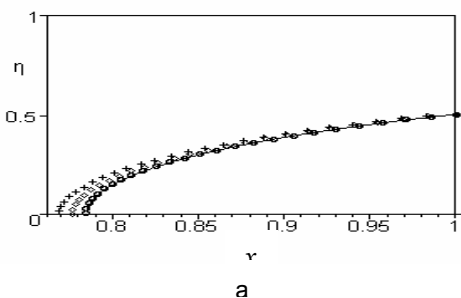


Рисунок 3 – Траектории твердых частиц разных диаметров и соответствующая линия тока жидкости в напорном канале при  $\eta_{00} = 0,5$  и различных значениях параметра  $n$ : а –  $n=0$ , б –  $n=0,2$ ; - линия тока жидкости,  $\times$  - траектория частицы диаметром 100 мкм,  $\square$  - траектория частицы диаметром 75 мкм,  $\circ$  - траектория частицы диаметром 50 мкм

Как видно из рис.3, частицы относительно малых размеров следуют по линиям тока, кроме того, начиная с некоторого значения  $d_p$ , течение становится существенно неравномерным. Для течения в данной области характерно "опережение" частиц примеси линий тока. Это – результат зависимости  $w \sim z$  продольной компоненты вектора скорости от длины напорного канала.

Влияние параметра  $n$ , в основном, заключается в уменьшении отклонения траекторий частиц от соответствующих линий тока при увеличении его значения.

Осаждение на мембране характерно для частиц, "стартующих" с разной высоты  $\eta_{00}$  напорного канала. Этот факт также является результатом принятой в данной модели аппроксимации для продольной и поперечной компонент вектора скорости частиц примеси.

В настоящей работе определены напряжения и деформации, возникающие на мембране под воздействием внутреннего и внешнего давлений, а также исследовано влияние, которое оказывает закон проницаемости (1) на зону и величину максимального прогиба мембраны.

Рассуждения проводились в рамках допущений:

1. Деформации мембраны в процессе фильтрации малы и близки к линейным (закон Гука);
2. В радиальном направлении деформации мембраны больше, чем в осевом или азимутальном;
3. Объем мембраны в процессе фильтрации не меняется;
4. Сила  $\bar{T}$  натяжения мембраны меняется незначительно, т.е.  $\bar{T} \cong \bar{T}_0$ . Здесь индекс 0 указывает на начальное положение мембраны  $OC_0L$  (рис. 4), соответствующее  $\bar{p} = 0$ , где  $\bar{p}$  - сосредоточенная сила.

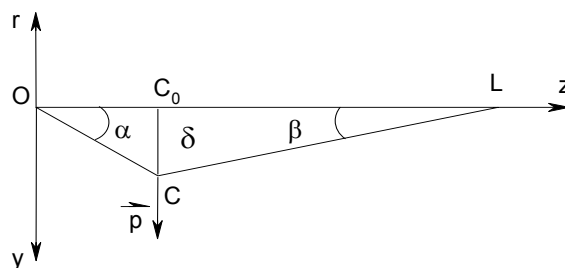


Рис. 4

МАТЕМАТИЧЕСКАЯ МОДЕЛЬ ДВУХФАЗНОГО ТЕЧЕНИЯ В СМЕЖНЫХ ПРОНИЦАЕМЫХ КАНАЛАХ

5. Работа на растяжение много больше работы на сжатие.

Пусть  $\bar{p} \neq 0$  соответствует положение мембраны OCL, а с системе zOy точка C имеет координаты  $z = \xi$  и  $y = \delta$ . В предположении незначительных деформаций мембраны в процессе фильтрации, что соответствует случаю малых углов  $\alpha$  и  $\beta$ , запишем приближенные равенства:

$$\sin \alpha \approx \frac{\delta}{\xi}; \quad \sin \beta \approx \frac{\delta}{L - \xi}. \quad (11)$$

Условие равновесия имеет вид:

$$T_0 \sin \alpha + T_0 \sin \beta = P. \quad (12)$$

С учетом равенств (11) уравнение (12) принимает вид:

$$\frac{\delta}{\xi} = P \frac{L - \xi}{T_0 L}.$$

Пусть  $y(z)$  - прогиб мембраны, тогда

$$y(z) = P \cdot G(z, \xi), \quad (13)$$

где

$$G(z, \xi) = \begin{cases} \frac{z(L - \xi)}{T_0 L}, & 0 \leq z \leq \xi \\ \frac{z(L - \xi)}{T_0 L}, & \xi \leq z \leq L \end{cases} \quad \text{- функция влияния.}$$

Можно показать, что имеет место следующее равенство:

$$\frac{y(z)}{\delta(\xi)} = \frac{z}{\xi}.$$

С учетом равенства (13) последнее соотношение принимает вид:

$$\frac{P \cdot G(z, \xi)}{\delta(\xi)} = \frac{z}{\xi}.$$

Следовательно,

$$G(z, \xi) = \frac{z \delta(\xi)}{P \cdot \xi} = \frac{z(L - \xi)}{T_0 L}. \quad (14)$$

Из соотношения (14) следует, что

$$G(z, \xi) = G(\xi, z).$$

Перемещение на элементарном участке мембраны  $[\xi, \xi + \Delta \xi]$  определяется выражением:

$$G(z, \xi) P(\xi) \Delta \xi.$$

Исходя из принципа суперпозиции, имеем равенство  $y \approx \sum_{\xi} G(z, \xi) P(\xi) \Delta \xi$  или в пределе

$$y(z) = \int_0^L G(z, \xi) P(\xi) d\xi. \quad (15)$$

Равенство (15) позволяет при заданной нагрузке  $P(\xi)$  определить величину перемещения  $y(z)$  мембраны в процессе фильтрации.

В рассматриваемом случае нагрузка  $P(\xi) = p(\xi)$ , т.е. распределение давления вдоль мембраны, определяется равенством

$$p(\xi) = \frac{\pi^2}{2} \left( \frac{(R_2^2 - R_1^2)^2 - R_1^4}{(R_2^2 - R_1^2)^2 R_1^4} \right) ((1 - 2n)d \cdot \xi)^{\frac{2}{1-2n}}. \quad (16)$$

После подстановки выражения (16) в уравнение (15), получено следующее выражение для  $y(z)$ :  $y(z) =$

$$\begin{aligned} &= \int_0^L G(z, \xi) \frac{\pi^2}{2} \left( \frac{(R_2^2 - R_1^2)^2 - R_1^4}{(R_2^2 - R_1^2)^2 R_1^4} \right) ((1 - 2n)d \cdot \xi)^{\frac{2}{1-2n}} d\xi = \\ &= \frac{\pi^2 ((1 - 2n)d)^{\frac{2}{1-2n}}}{2T_0 L} \left( \frac{(R_2^2 - R_1^2)^2 - R_1^4}{(R_2^2 - R_1^2)^2 R_1^4} \right) x \\ & \quad \times \left( \int_0^z \xi(L - z) \xi^{\frac{2}{1-2n}} d\xi + \int_z^L z(L - \xi) \xi^{\frac{2}{1-2n}} d\xi \right). \quad (17) \end{aligned}$$

При различных значениях параметра  $n$  интеграл (17) позволяет определить величину прогиба мембраны, возникающего в процессе фильтрации.

Например, при  $n=0$  выражение (17) принимает вид:

$$\begin{aligned} y(z) = & \frac{\pi^2 a^2}{2T_0 L} \left( \frac{(R_2^2 - R_1^2)^2 - R_1^4}{(R_2^2 - R_1^2)^2 R_1^4} \right) \cdot \left( \int_0^z (L - z) \xi^3 d\xi + \right. \\ & \left. + \int_z^L z(L - \xi) \xi^2 d\xi \right). \end{aligned}$$

В результате вычисления интегралов, входящих в правую часть последнего равенства, получено:

$$y(z) = \frac{\pi^2 a^2}{12T_0 L} \left( \frac{(R_2^2 - R_1^2)^2 - R_1^4}{(R_2^2 - R_1^2)^2 R_1^4} \right) z(L^3 - z^3). \quad (18)$$

Было установлено, что максимум функции (18) наблюдается при  $z \approx 0,63L$ . Таким образом, здесь наблюдается зона максимального прогиба мембраны. При этом величина максимального прогиба принимает значение, равное

$$\frac{0,39a^2 L^3}{T_0} \left( \frac{(R_2^2 - R_1^2)^2 - R_1^4}{(R_2^2 - R_1^2)^2 R_1^4} \right).$$

Аналогично были определены зоны и величины максимальной деформации про-

цаемой стенки при некоторых других значениях  $n$ , в частности, при  $n=0,1$  и  $n=0,3$ .

Полученные результаты позволяют утверждать, что на величину максимального прогиба мембраны оказывают влияние параметры, определяющие геометрию рабочего и дренажного каналов:  $L$ ,  $R_1$  и  $R_2$ , а также параметры  $a$  и  $n$ , характеризующие физические свойства мембран. При этом, влияние первых четырех из указанных выше параметров на деформацию мембраны различно при разных значениях  $n$ ].

Установлено, что при возрастании параметра  $n$  зона максимального прогиба мембраны располагается все ближе к входному сечению рабочего канала (зона 1). Отмеченный факт является следствием того, что в указанной зоне наблюдается наибольшее осаждение частиц примеси. Так, при  $n=0$  наибольшее осаждение частиц примеси происходит в сечении, соответствующем  $z \approx 0,63L$ , при  $n=0,1$  –  $z \approx 0,6507L$ , при  $n=0,3$  –  $z \approx 0,7230$

Наблюдающаяся деформация мембраны повлечет за собой изменение граничных условий в канале, что в свою очередь приведет к перестройке течения. При этом возможны различные варианты развития геометрии напорного канала во времени.

Один из них заключается в следующем. Прогиб мембраны повлечет за собой уменьшение значений средней скорости в напорном канале и ее увеличение в дренажном, что неизбежно приведет к росту перепада давлений на проницаемой стенке. В свою очередь, увеличение перепада давлений на мембране спровоцирует еще больший прогиб и т.д. Значит, при недостаточной прочности мембраны возможен ее разрыв.

Если упругие силы будут восстанавливать равновесие системы, то проницаемая поверхность может перейти из статического в колебательный режим. Этот механизм, возможно, является одной из причин наблюдающегося разрушения мембран.

Поведенные исследований позволяют утверждать, что закон проницаемости мембраны оказывает непосредственное влияние на движение жидкой и твердой фазы в модуле фильтрационного аппарата и деформацию мембраны.

### **Выводы**

1. Уравнения гидромеханики допускают существование однопараметрического класса автомодельных решений рассмотренной задачи. Частным случаем ( $n=0$ ) является известное решение Бермана-Тейлора [3].

2. Незначительному изменению параметра  $n$  в окрестности  $n=0$  соответствует достаточно существенное изменение структуры течения: при неизменных профилях  $v$ - и  $w$ -компонент вектора скорости в зонах 1 и 2 градиентность течения изменяется довольно сильно.

3. Малое изменение значения  $n$  приводит к существенной перестройке движения одиночной частицы примеси, изменению зоны и величины максимальной деформации мембраны.

### **ЛИТЕРАТУРА**

1. Тушкина Т.М. Моделирование течений в мембранных каналах: Автореф. дис. канд. физ.-мат. наук. – Бийск, 2002. – 20 с.

2. Овчаренко А.Г., Спиридонов Ф.Ф., Тушкина Т.М. Исследование двухфазного течения в каналах с общей проницаемой границей// Задачи со свободными границами: теория, эксперимент и приложения: Тезисы докладов Всероссийской конференции с участием зарубежных учёных 4 – 8 июля 2005 года, Бийск. – Новосибирск: Изд-во Института гидродинамики им. М.А. Лаврентьева СО РАН, 2005. – С. 57.

3. Berman A.S. Laminar flow in channels with porous walls// J. Appl. Phys. 1953. V.24, N9. – P.1232-1235.